6-4 東海・関東・伊豆地域における地下水等観測結果 (2020年5月~2020年10月) (62) The Variation of the Groundwater Level, Discharge Rate, Tilt meter, Three-Component Strain, and Subsidence in the Tokai, Kanto District and Izu Peninsula, Japan. (from May 2020 to Oct. 2020) (62)

産業技術総合研究所 Geological Survey of Japan, AIST

2020年5月~2020年10月の半年間の東海・関東・伊豆地域の地下水等の観測結果を報告する. 本報告では、観測井配置図(第1図)の図中の枠で示す4地域および第2図に示す地域に分けて表示する。6ヶ月間のデータを3ヶ月毎に示すとともに2年間の観測データを参考として示す(第3~20図)。また、浜岡・掛川における沈下等の観測結果(第21、22図)についても示す。なお図中の印で、\$は保守を、*は雨量補正不十分を、@は解析による見かけ上のギャップを、#はバッテリー消耗を、?は原因不明をそれぞれ表す。

東海地域中部: 静岡栗原1の水位上が2015年4月中旬に井戸管の広い部分まで上昇したので

それ以降の水位変化が小さくなっている.

東海地域南部: 御前崎のガス流量システムを2017年2月16日に更新した. 2018年10月16

~26日の御前崎の水位の異常はガス流量計の故障が原因と思われる.

東海地域西部: 特記すべき変化はない.

伊豆半島東部地域:松原 174 号井は静岡県による観測である. 松原 174 の水位計が長期的にドリフ

トしていることが分かったので、2014年7月4日に新水位計を設置した。新 水位計を2017年10月12日と2020年9月18日に交換した。松原174の水位

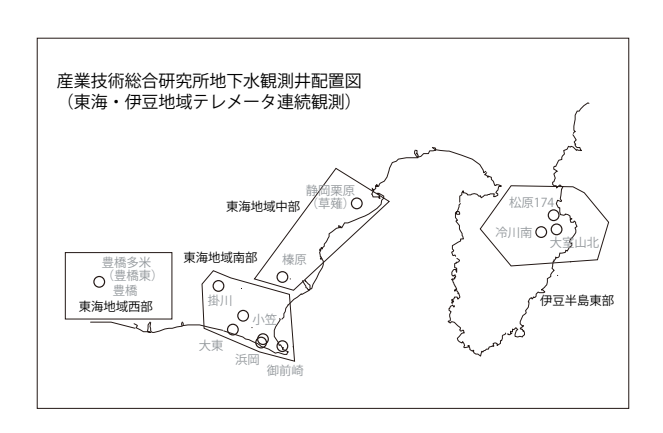
は2020年7月5日~8月21日頃まで断続的に管頭から水があふれた.

関東地域: つくば2,3,4の水位が例年春から秋に低下するのは、周囲の揚水によると考え

られる.

これらのデータは WellWeb (http://www.gsj.jp/wellweb) にて公開している.

(木口 努・松本 則夫・北川 有一・板場 智史・落 唯史・佐藤 努・矢部 優)



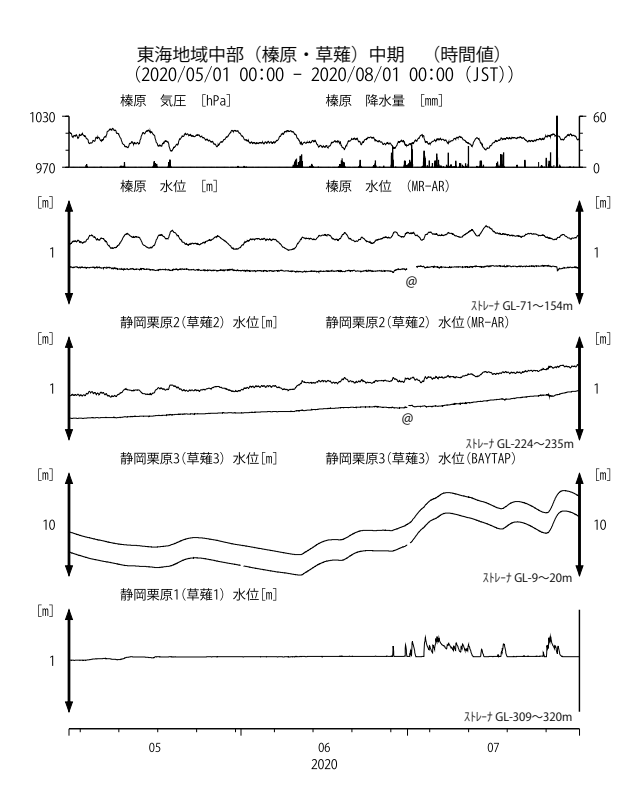
産業技術総合研究所地下水観測井配置図(南関東地域テレメータ連続観測)

第1図 伊豆・東海地域の産業技術総合研究所地下水 等観測井の配置図

Fig. 1 Location of the groundwater observation wells in and around the Tokai and Izu district.

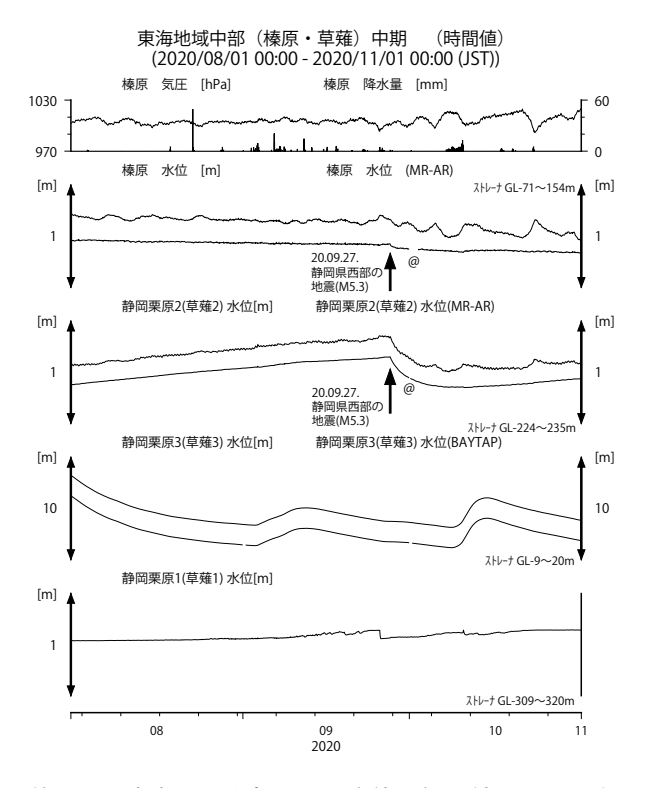
第2図 関東地域の産業技術総合研究所地下水等観測 井の配置図

Fig. 2 Location of the groundwater observation wells in the Kanto district.



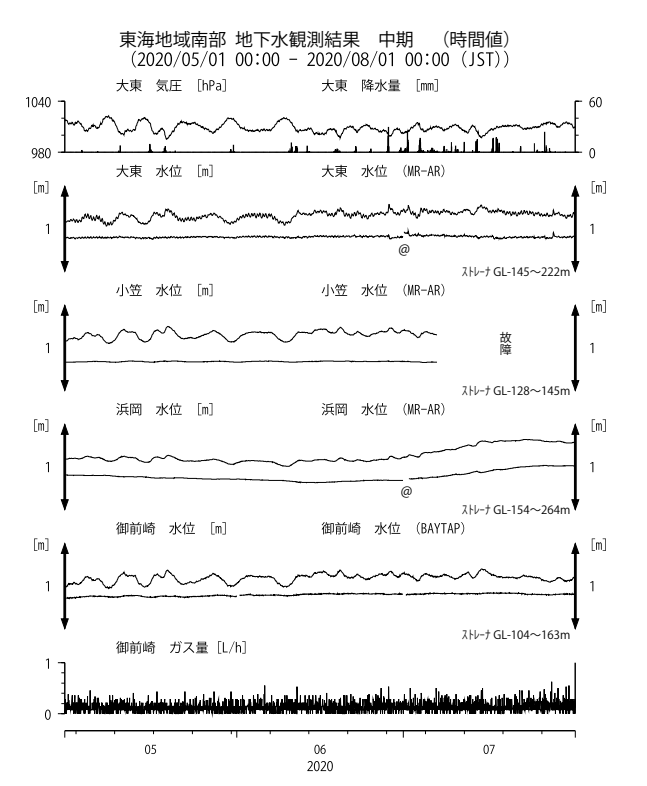
第3図 東海地域中部の地下水等の観測結果 (2020年 5月~2020年7月)

Fig. 3 Observed groundwater levels and others in the central Tokai district from May 2020 to Jul. 2020.



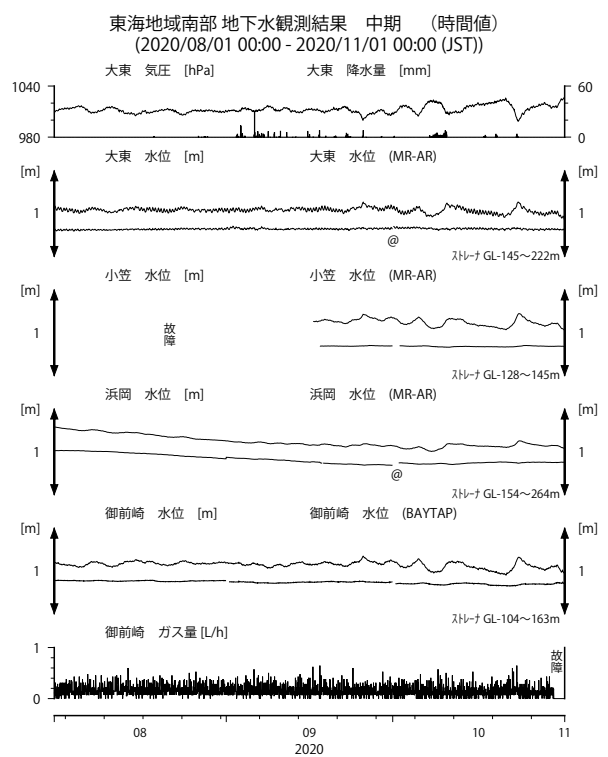
第4図 東海地域中部の地下水等の観測結果 (2020 年 8月~2020 年 10月)

Fig. 4 Observed groundwater levels and others in the central Tokai district from Aug. 2020 to Oct. 2020.



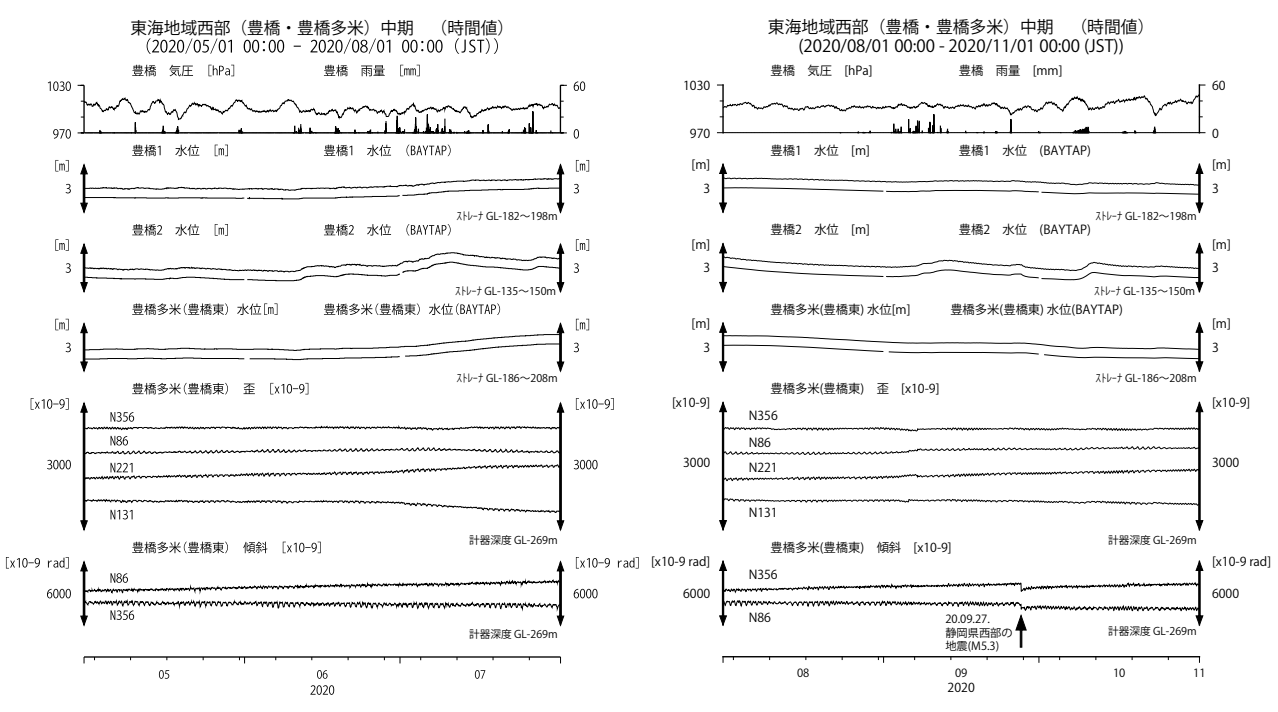
第5図 東海地域南部の地下水等の観測結果 (2020年 5月~2020年7月)

Fig. 5 Observed groundwater levels and others in the southern Tokai district from May 2020 to Jul. 2020.



第6図 東海地域南部の地下水等の観測結果 (2020 年 8月~2020 年 10月)

Fig. 6 Observed groundwater levels and others in the southern Tokai district from Aug. 2020 to Oct. 2020.

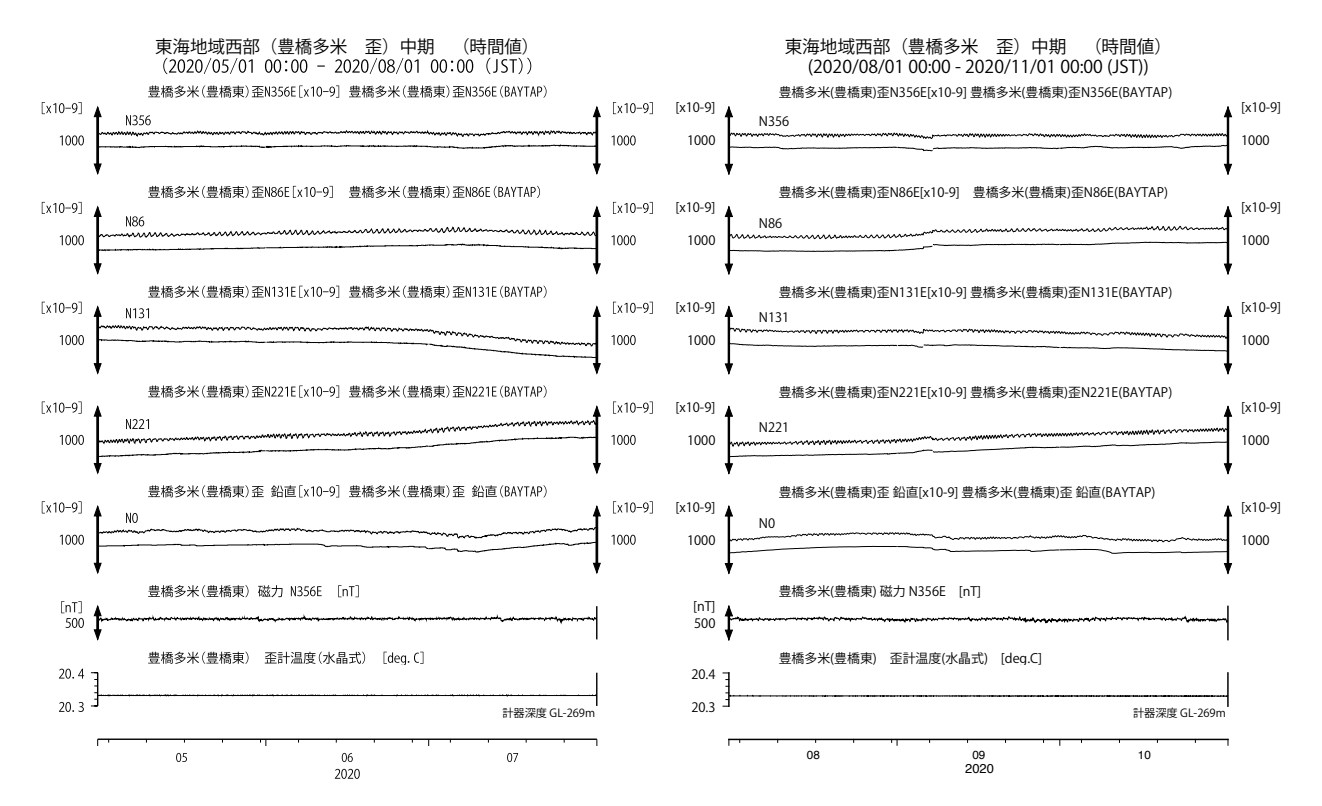


第7図 東海地域西部(豊橋・豊橋多米)の地下水等 の観測結果(2020年5月~2020年7月)

Fig. 7 Observed groundwater levels and others at the Toyohashi and Toyohashi-tame observation sites in the western Tokai district from May 2020 to Jul. 2020.

第8図 東海地域西部(豊橋・豊橋多米)の地下水等 の観測結果(2020年8月~2020年10月)

Fig. 8 Observed groundwater levels and others at the Toyohashi and Toyohashi-tame observation sites in the western Tokai district from Aug. 2020 to Oct. 2020.

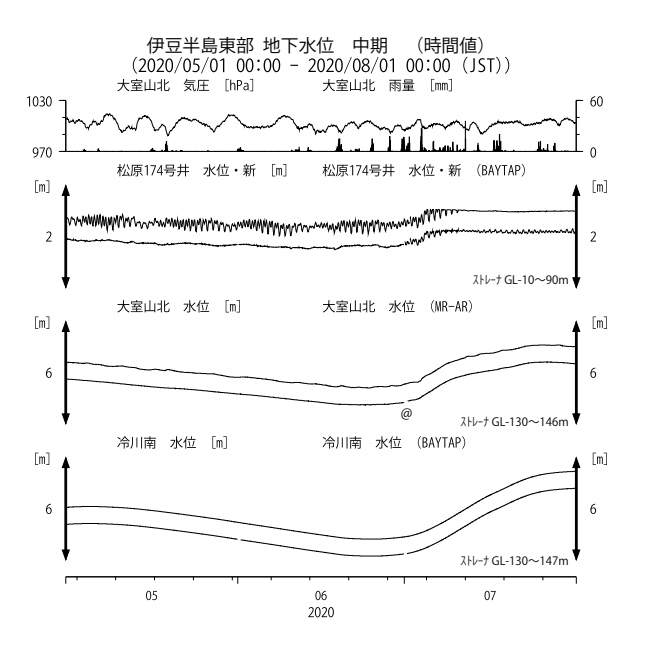


第9図 東海地域西部(豊橋多米)の歪等の観測結果 (2020年5月~2020年7月)

Fig. 9 Observed strain and others at the Toyohashi-tame observation site in the western Tokai district from May 2020 to Jul. 2020.

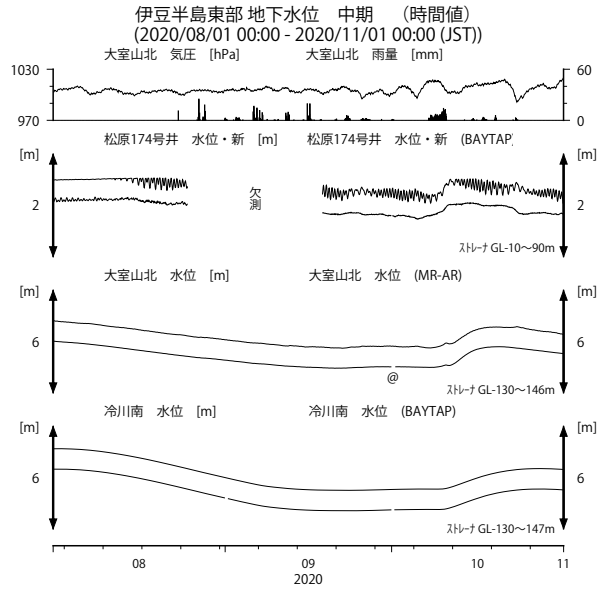
第 10 図 東海地域西部(豊橋多米)の歪等の観測結果 (2020 年 8 月~ 2020 年 10 月)

Fig. 10 Observed strain and others at the Toyohashi-tame observation site in the western Tokai district from Aug. 2020 to Oct. 2020.



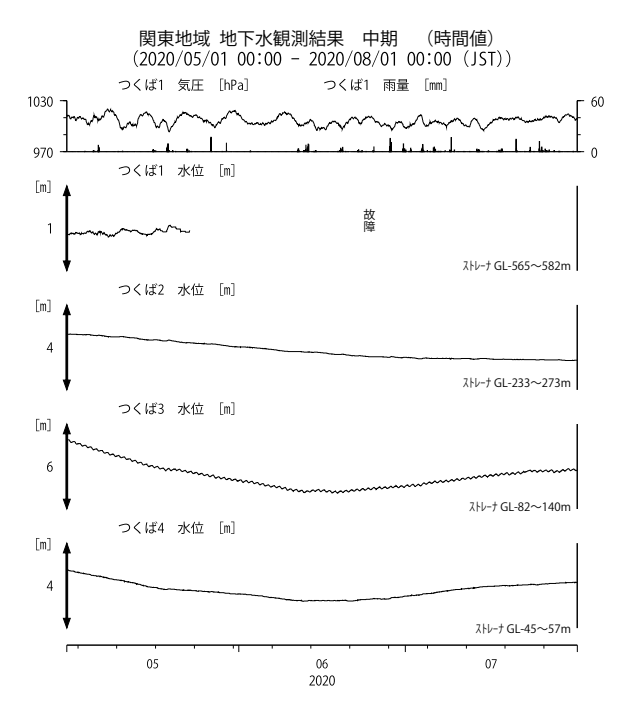
第 11 図 伊豆半島東部の地下水等の観測結果 (2020 年 5 月~ 2020 年 7 月)

Fig. 11 Observed groundwater levels and others in the eastern Izu peninsula district from May 2020 to Jul. 2020.



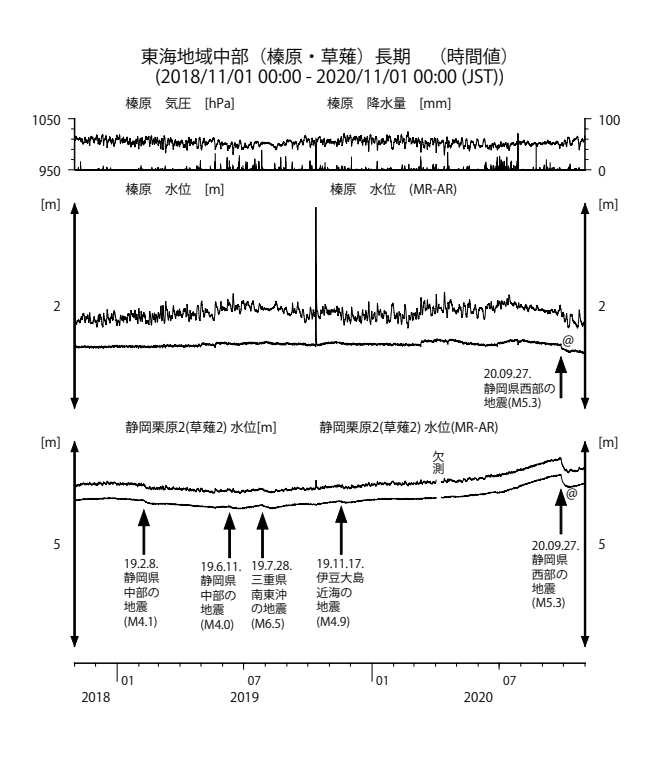
第 12 図 伊豆半島東部の地下水等の観測結果 (2020 年 8 月~ 2020 年 10 月)

Fig. 12 Observed groundwater levels and others in the eastern Izu peninsula district from Aug. 2020 to Oct. 2020.



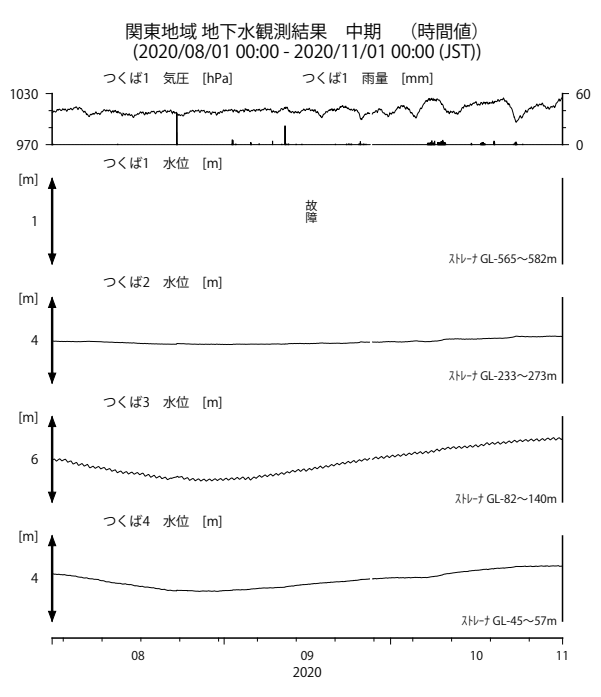
第13図 関東地域の地下水等の観測結果 (2020年5 月~2020年7月)

Fig. 13 Observed groundwater levels and others in the Kanto district from May 2020 to Jul. 2020.



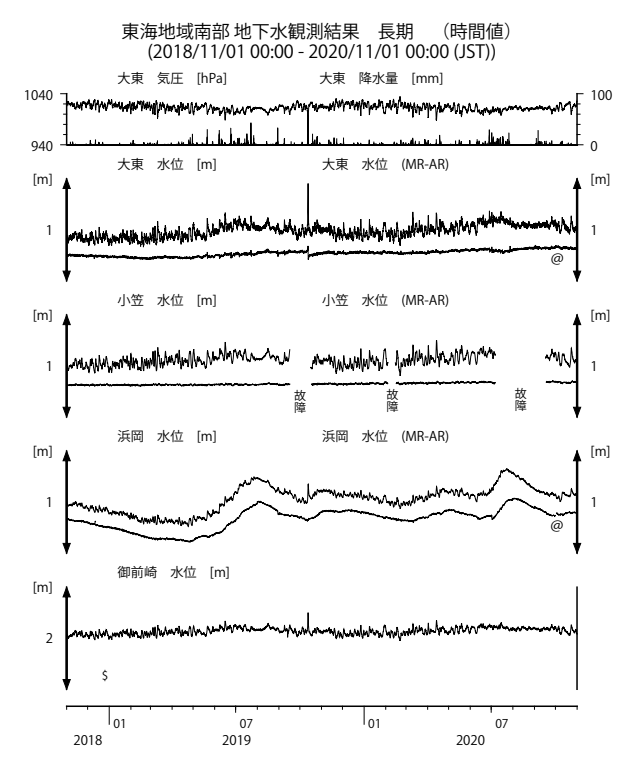
第 15 図 東海地域中部の地下水等の観測結果 (2018 年 11 月~ 2020 年 10 月)

Fig. 15 Observed groundwater levels and others in the central Tokai district from Nov. 2018 to Oct. 2020.



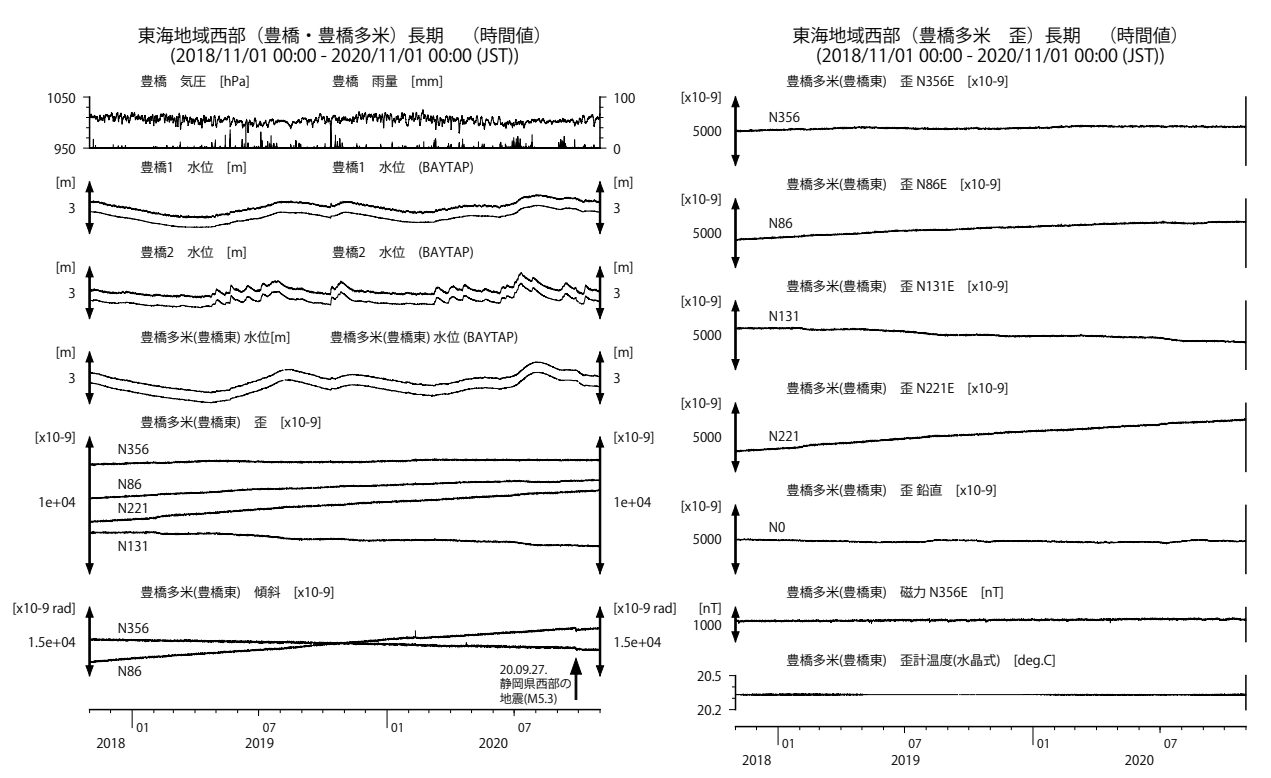
第 14 図 関東地域の地下水等の観測結果 (2020 年 8 月~ 2020 年 10 月)

Fig. 14 Observed groundwater levels and others in the Kanto district from Aug. 2020 to Oct. 2020.



第 16 図 東海地域南部の地下水等の観測結果 (2018 年 11 月~ 2020 年 10 月)

Fig. 16 Observed groundwater levels and others in the southern Tokai district from Nov. 2018 to Oct. 2020.

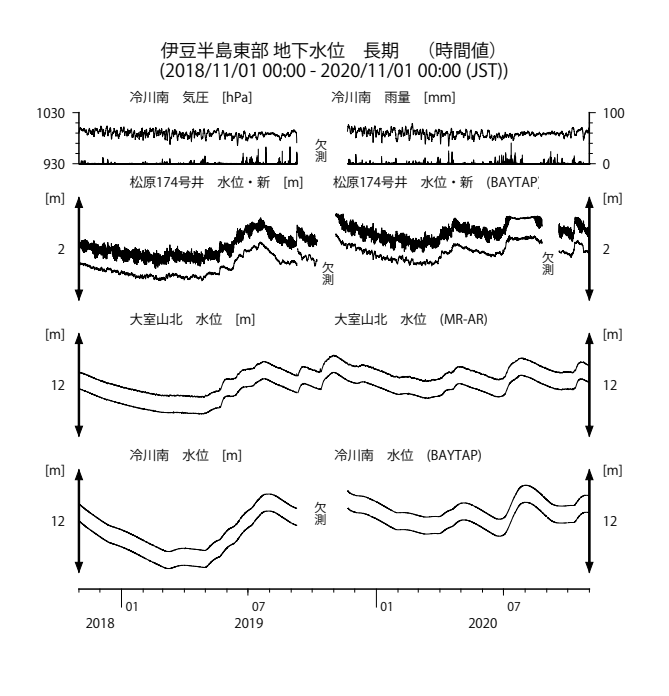


第 17 図 東海地域西部(豊橋・豊橋多米)の地下水等 の観測結果(2018 年 11 月~2020 年 10 月)

Fig. 17 Observed groundwater levels and others at the Toyohashi and Toyohashi-tame observation sites in the western Tokai district from Nov. 2018 to Oct. 2020.

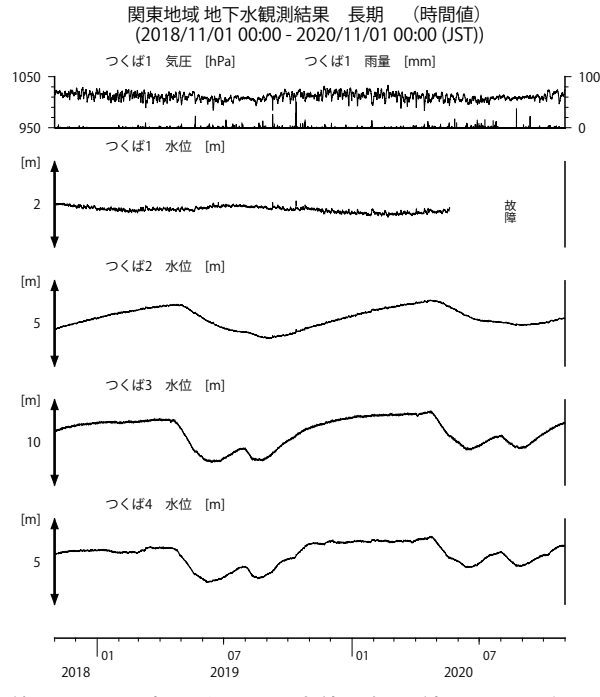


Fig. 18 Observed strain and others at the Toyohashi-tame observation site in the western Tokai district from Nov. 2018 to Oct. 2020.



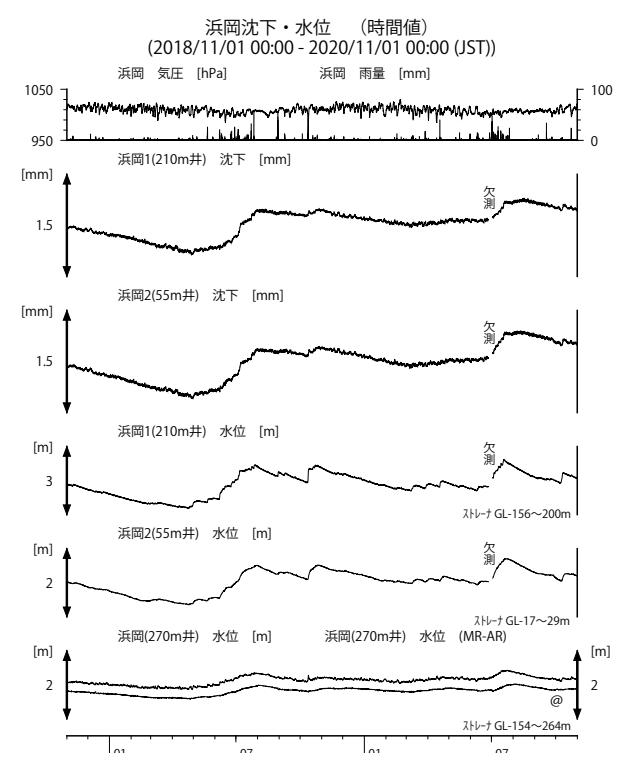
第 19 図 伊豆半島東部の地下水等の観測結果 (2018 年 11 月~ 2020 年 10 月)

Fig. 19 Observed groundwater levels and others in the eastern Izu peninsula from Nov. 2018 to Oct. 2020.



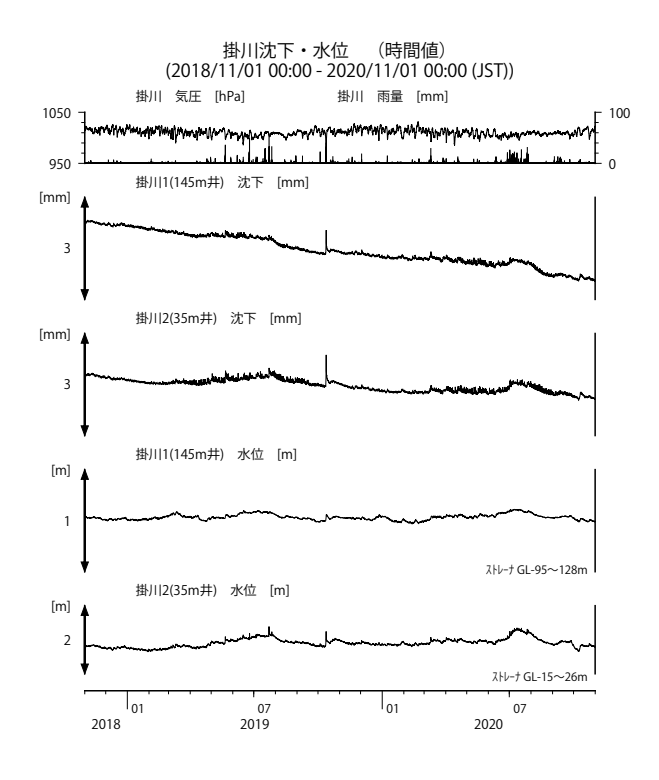
第20図 関東地域の地下水等の観測結果 (2018年11 月~2020年10月)

Fig. 20 Observed groundwater levels and others in the Kanto district from Nov. 2018 to Oct. 2020.



第21図 浜岡における沈下等の観測結果(2018年11月~2020年10月)

Fig. 21 Observed subsidence data and others at the Hamaoka observation well from Nov. 2018 to Oct. 2020.



第22図 掛川における沈下等の観測結果(2018年11月~2020年10月)

Fig. 22 Observed subsidence data and others at the Kakegawa observation well from Nov. 2018 to Oct. 2020.